

# Synthèse et structure de BiMO<sub>3</sub> (M=Mn, Cr) du local au monocristal

Pierre Bordet

Pierre Toulemonde

Céline Goujon

Céline Darie

*Institut Néel, CNRS/UJF, Grenoble, France*



Michela Brunelli

*Institut Laue-Langevin, Grenoble, France*

*European Synchrotron Radiation Facility*

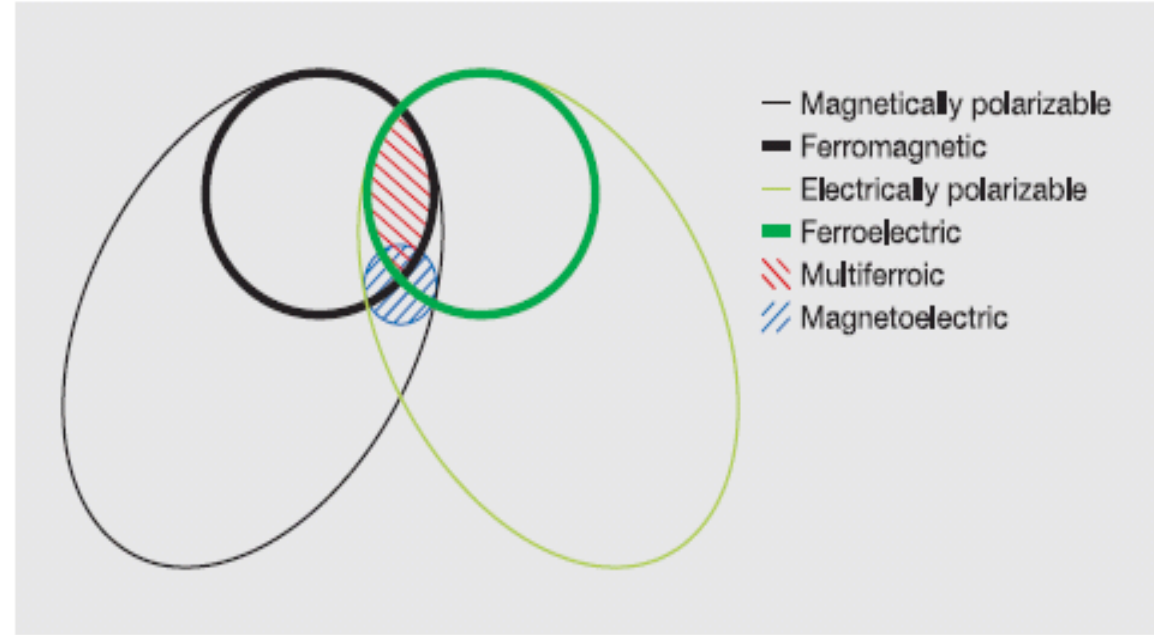


[www.neel.cnrs.fr](http://www.neel.cnrs.fr)

UNIVERSITE  
JOSEPH FOURIER  
SCIENCES. TECHNOLOGIE. SANTE

# Le Multiferroïsme

- ✓ 2 ordres "ferroïques":
  - ferromagnétique
  - ferroélectrique
  - ferroélastique

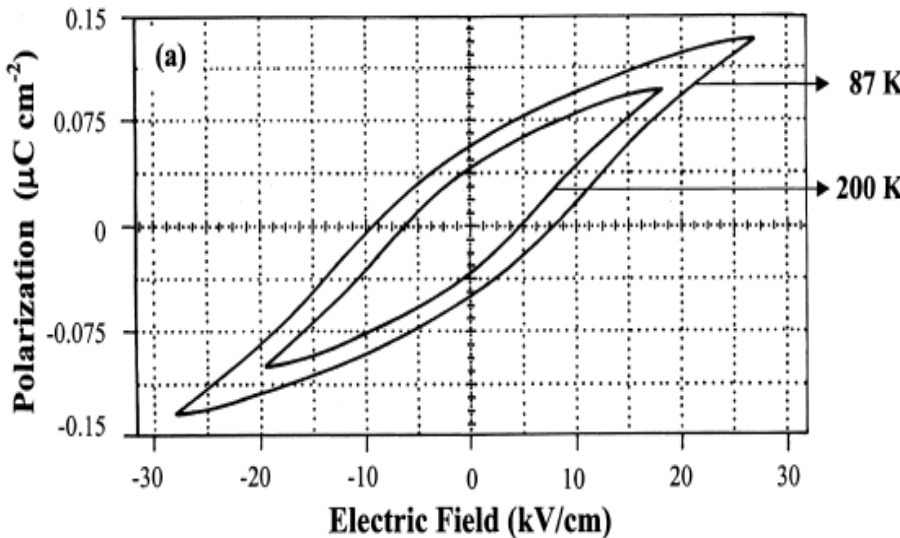


- ✓ Définition + large : coexistence de ferroélectricité et ordre magnétique (antiferro...)
- ✓ 1ère espèce : ferroélectrique qui s'ordonne magnétiquement  
2ème espèce : l'ordre magnétique induit la ferroélectricité
- ✓ applications possibles :
  - mémoires à 4 états
  - écriture/lecture électrique/magnétique
  - piloter une propriété par l'autre...

# Pérovskites multiferroïques de 1ère espèce : $\text{BiMnO}_3$ : ferromagnétique et ferroélectrique ?

*synthèse HP*

**Pbnm (GdFeO<sub>3</sub>-type) -> C121,**  
 $a = 9.53 \text{ \AA}$ .  $b = 5.61 \text{ \AA}$ .  $c = 9.85 \text{\AA}$ .  $\beta = 110.7^\circ$

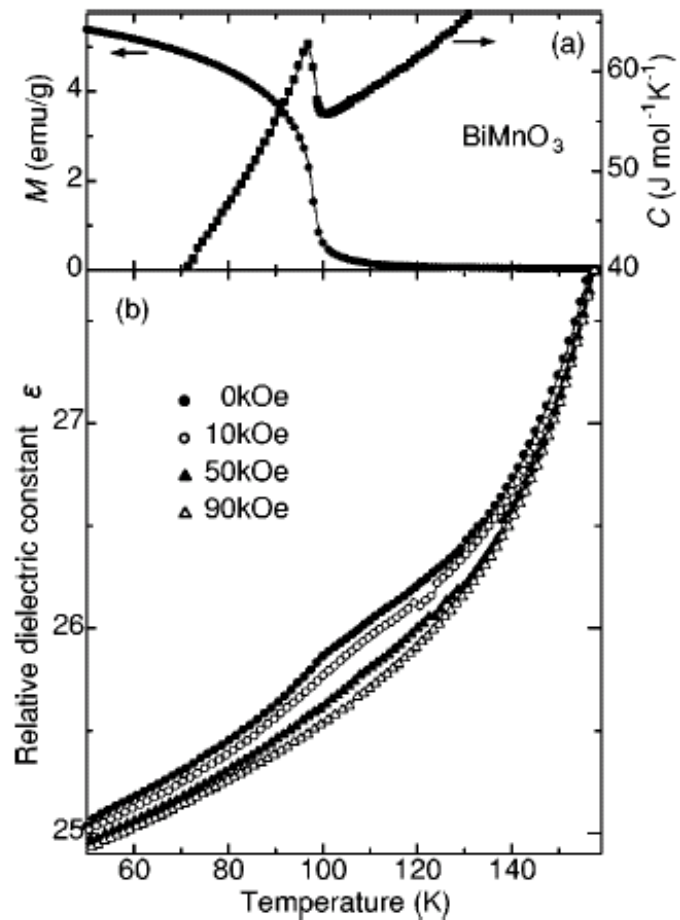


A. M. dos Santos et al.  
*Solid State Commun.* **122**, 49 2002.

polarisation elect. mesurée =  $0.04 \text{ C.cm}^{-2}$   
 vs  
 Calculée (LSDA+U)=  $0.5 \text{ C.cm}^{-2}$

T. Shishidou et al., *J. Phys.: Condens. Matter* **16**, S5677 2004

$T(\text{FE}) \approx 760 \text{ K}$ ,  $T(\text{FM}) \approx 105 \text{ K}$



Kimura et al., *PRB* **67**, 180401, 2003  
 Moreira dos Santos et al., *PRB* **66**, 64425, 2002

# $\text{BiMnO}_3$ : ferromagnétique et ferroélectrique ???

Belik et al. : SG =  $C2/c$  !!  
(CBED + PND)

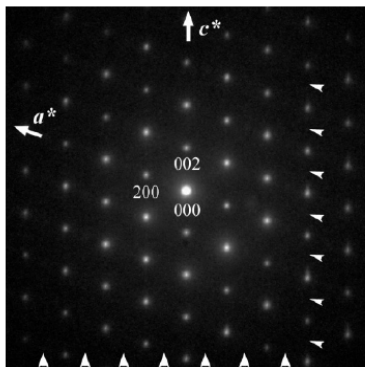


Figure 3. SAED pattern taken along the [010] zone axis. The  $h0l$  ( $h = 2n + 1$  and  $l = 2n + 1$ ) reflections are absent due to the existence of the  $C$ -centered lattice and  $c$ -glide plane as indicated by arrows.

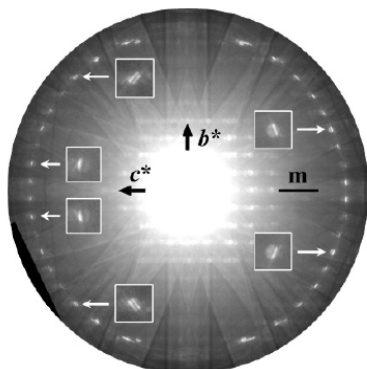
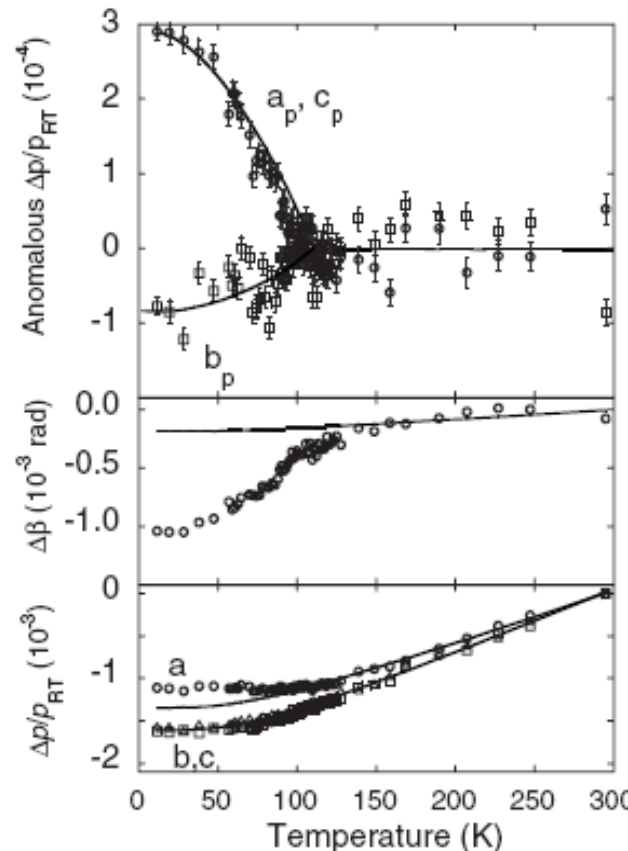


Figure 4. CBED pattern taken along the [100] zone axis. The HOLZ reflections clearly show the mirror-plane symmetry of this pattern perpendicular to the  $b^*$ -axis as indicated by the arrows.

Montanari et al. confirment... (PND)  
+ effet magnetoélastique



11A. Belik et al., J. Am. Chem. Soc. 129, 971 2007

=>  $\text{BiMnO}_3$  n'est pas ferroélectrique ?

et  $\text{BiCrO}_3$  ???

$T(\text{"FE"})=430\text{K}$ ,  $T(\text{AFM})=120\text{K}$

AF ( $\theta \approx 360\text{K}$ ) “parasitic FM”

$Pbnm \Rightarrow C121 \text{ at } 430\text{K}$

$a=9.47\text{\AA}$ ,  $b=5.48\text{\AA}$ ,  $c=9.59\text{\AA}$ ,  $\beta = 108.58^\circ$

*isostructural à  $\text{BiMnO}_3$  ??*

=>synthèse de poudres/cristaux HP  
de  $\text{BiCrO}_3$  et  $\text{BiMnO}_3$

=>Étude structurale

=>Structure magnétique

=>**Structure locale  $\neq$  structure moyenne ?**

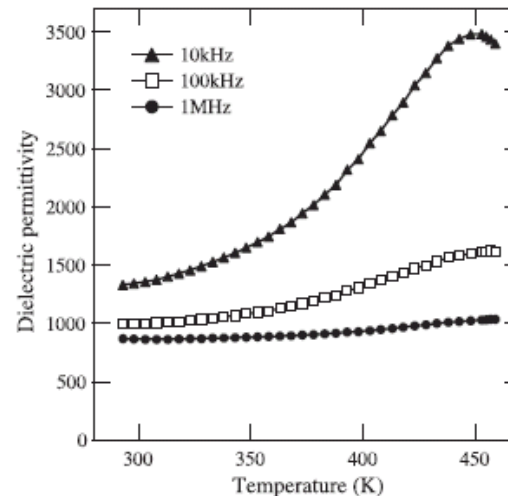


Fig. 3. Temperature dependence of dielectric permittivity of  $\text{BiCrO}_3$  at 10 kHz, 100 kHz and 1 MHz.

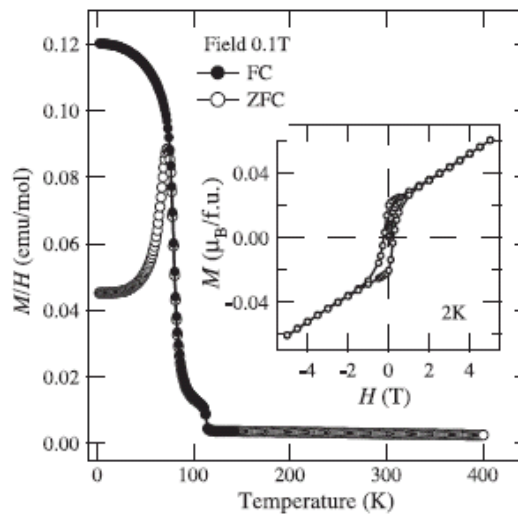
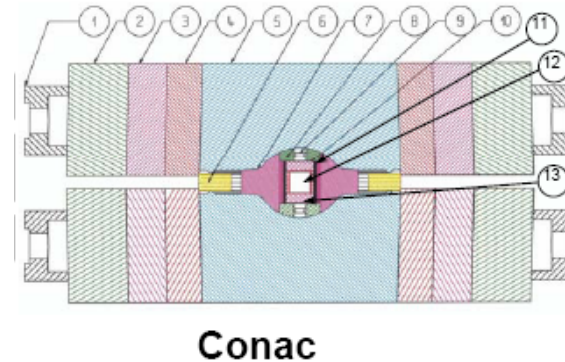
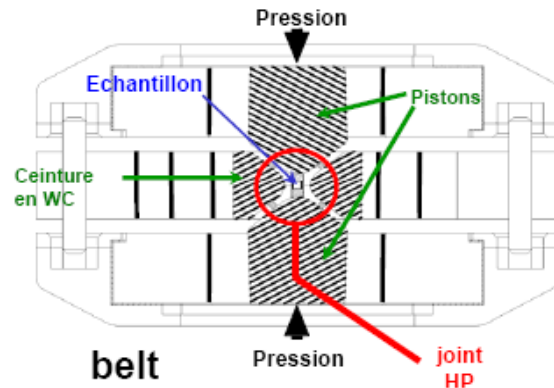


Fig. 4. Temperature dependence of magnetic susceptibility of  $\text{BiCrO}_3$  measured at  $H=0.1\text{T}$ . Open and solid marks represent ZFC and FC measurements, respectively. The inset shows the magnetization curve at 2 K.

Niitaka et al., Solid State Ionics 172 (2004) 557–559

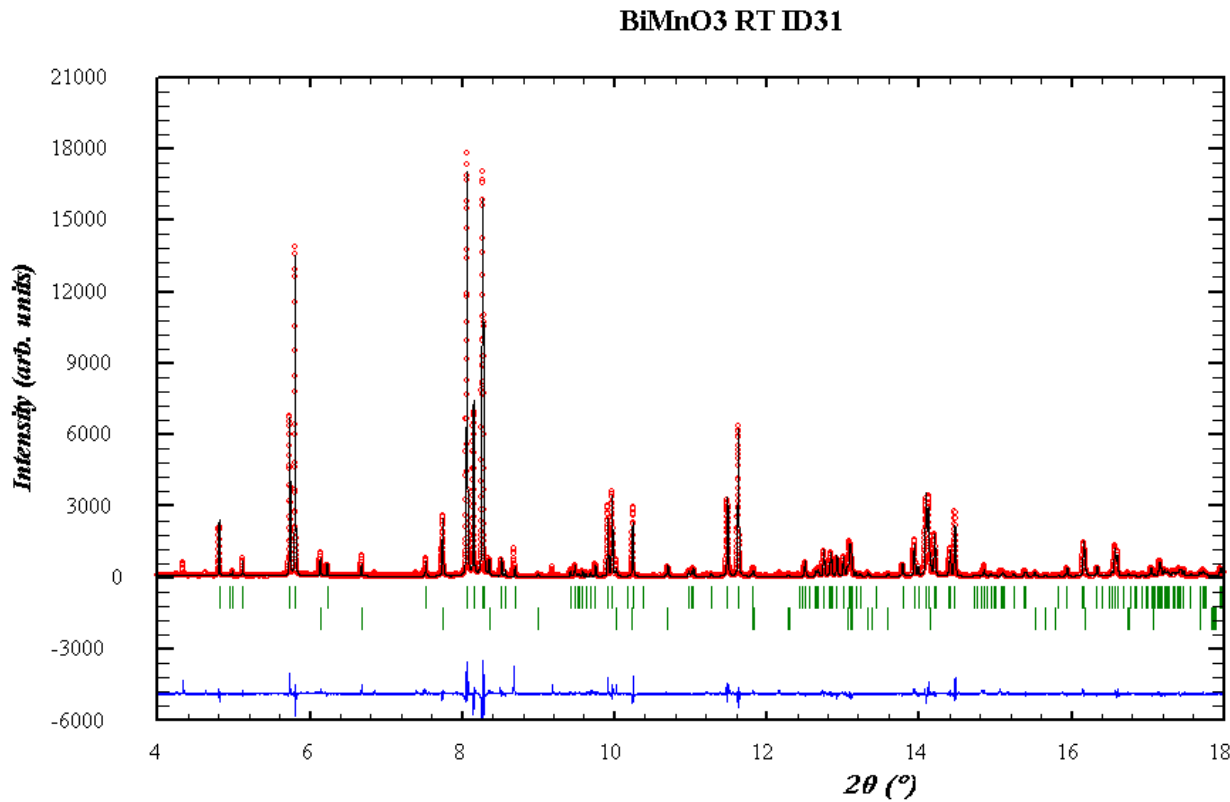
# Institut Néel - synthèses Hautes Pressions

	Belt		Conac	
Diamètre utile des cellules	12 mm	16 mm	40mm	28mm
Volume des capsules (Au,Pt,acier,CuBe,Ta,BN)	0.04 cm <sup>3</sup>	0.17 cm <sup>3</sup>	0.8 cm <sup>3</sup>	0.2 cm <sup>3</sup>
Masse de produit (moy.)	160 mg	450 mg	2 g	0.5 g
Gamme de pression	0 - 8 GPa	0 - 4 GPa	0 - 6 GPa	0 - 7.5 GPa



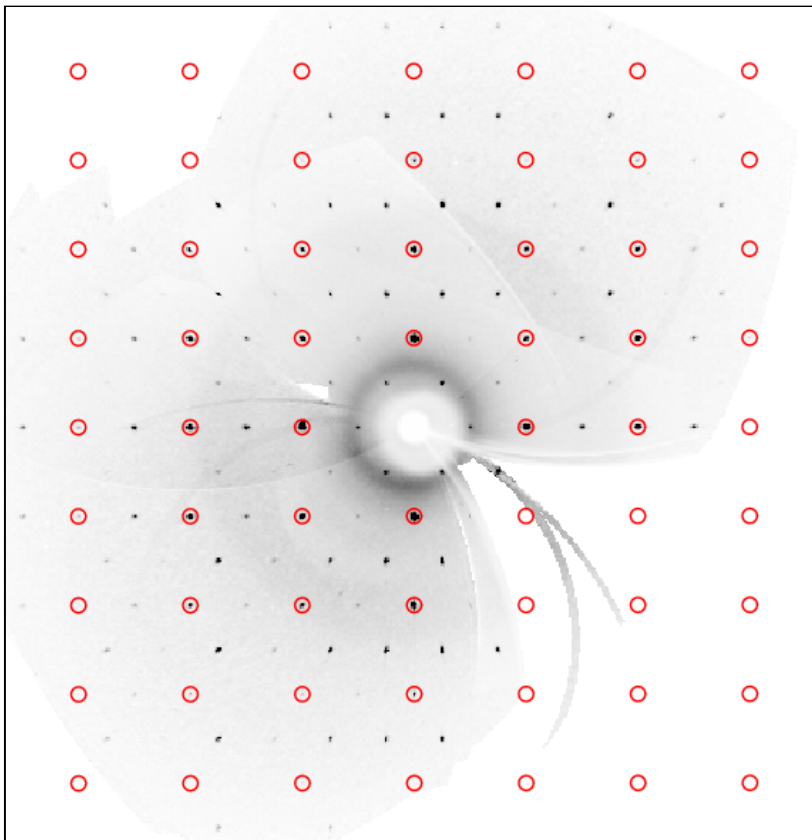
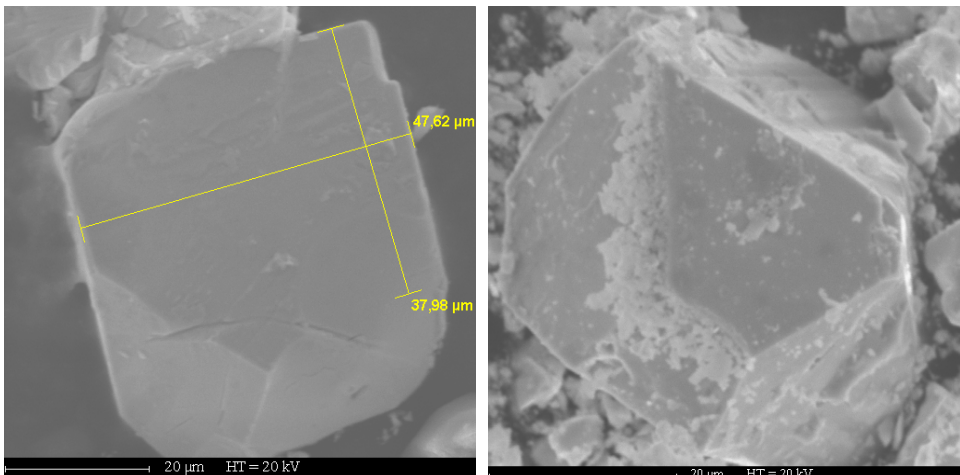
Structure moyenne de BiMnO<sub>3</sub> ,  
Poudre ID31 ESRF à 30keV

Affinement C2/c et C2 équivalents  
Pas de réflexions (hkl)  $h+k=2n+1$ ; (h0l)  $l=2n+1$



Structure moyenne de  $\text{BiMnO}_3$ ,  
Monocristaux, kappaApex,  $\lambda=\text{AgK}\alpha$

Affinements C2/c et C2 équivalents  
Pas de réflexions ( $hkl$ )  $h+k=2n+1$ ; ( $h0l$ )  $l=2n+1$



Crystal data

Crystal system      monoclinic  
Space group        **C 1 2/c 1 (no. 15)**  
Unit cell     $a = 9.566 \text{ \AA}$     $b = 5.624 \text{ \AA}$   
                         $c = 9.889 \text{ \AA}$     $\beta = 110.63^\circ$

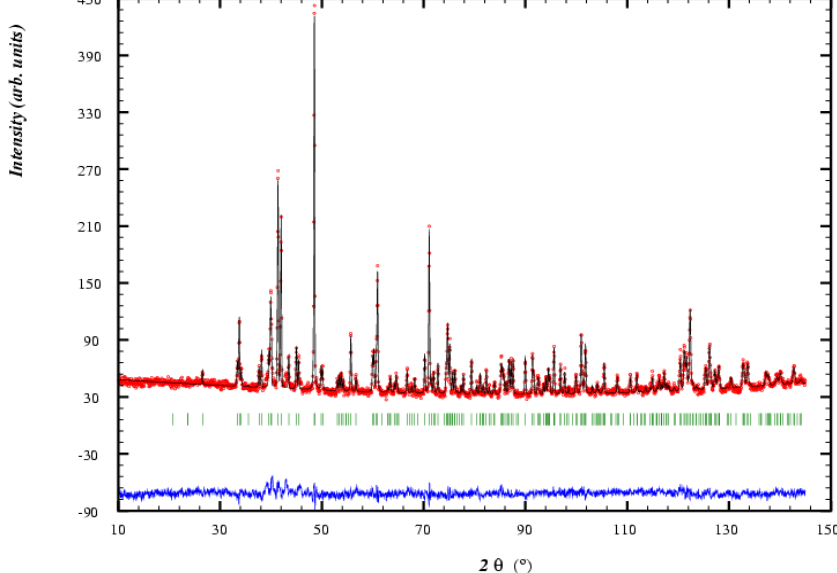
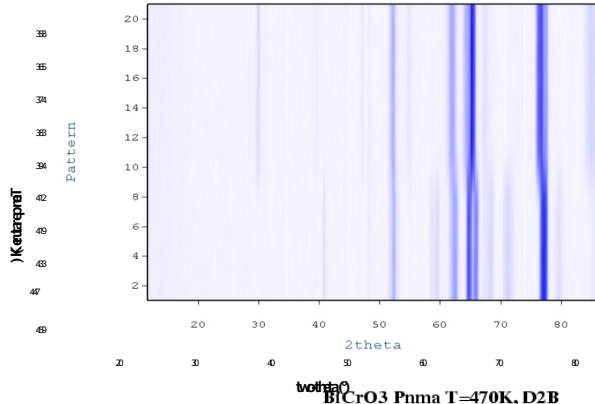
**Robs=2.3%, Rwpobs=2.6%**

Atomic coordinates

Atom	Wyck.	x	y	z
Bi	8f	0.13671(4)	-0.21969(8)	0.12672(4)
Mn1	4e	0	0.2127(5)	1/4
Mn2	4c	1/4	1/4	0
O1	8f	0.1010(8)	0.1717(15)	0.0832(9)
O2	8f	0.3544(8)	0.4549(14)	0.1634(7)
O3	8f	0.1453(8)	0.4295(14)	0.3666(9)

# Structure moyenne de $\text{BiCrO}_3$ , Poudre neutrons D20/D2B ILL vs T

## Transition de phase haute température

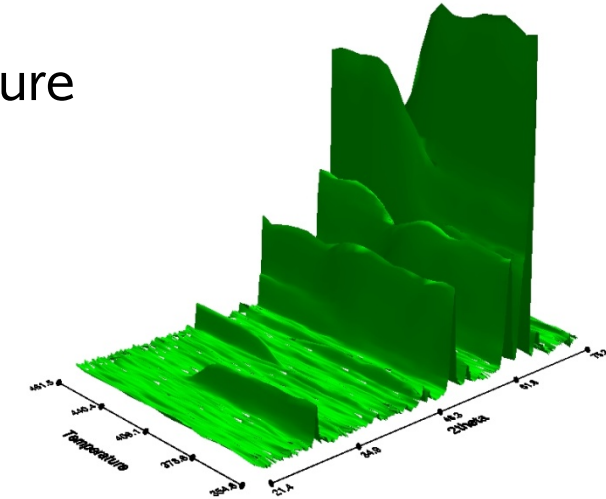


**D20**

$T_c \approx 430\text{K}$ (warm)

$T_c \approx 415\text{K}$ (cool)

*Pnma*



**D2B**

**Pnma**  $a=5.5427(1)$ ,  $b=7.7524(2)$ ,  $c=5.4255(1)$

Bi1	0.0432(4)	$\frac{1}{4}$	-0.0051(6)	1.31( 5)
Cr1	$\frac{1}{2}$	$\frac{1}{2}$	0	0.67(8)
O1	0.4793(6)	$\frac{1}{4}$	0.0811(6)	0.97(6)
O2	0.2948 (5)	0.0390(3)	0.7015(5)	1.22(5)

Bi1-O1: 3.160(4) Cr1-O1 (x2): 1.9906(7)

Bi1-O1: 2.462(4) Cr1-O2 (x2): 1.989(3)

Bi1-O1: 3.145(5) Cr1-O2 (x2): 2.002(3)

Bi1-O1: 2.328(5) Average: 1.99

Bi1-O2 (x2): 2.675(3)

Bi1-O2 (x2): 2.389(3)

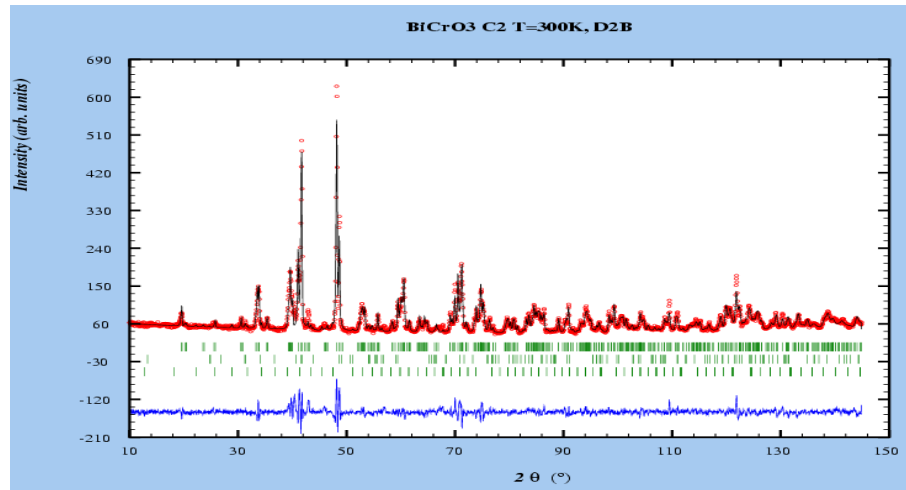
Bi1-O2 (x2): 3.353(3)

Bi1-O2 (x2): 2.661(3)

Average: 2.77

# Structure à T ambiante

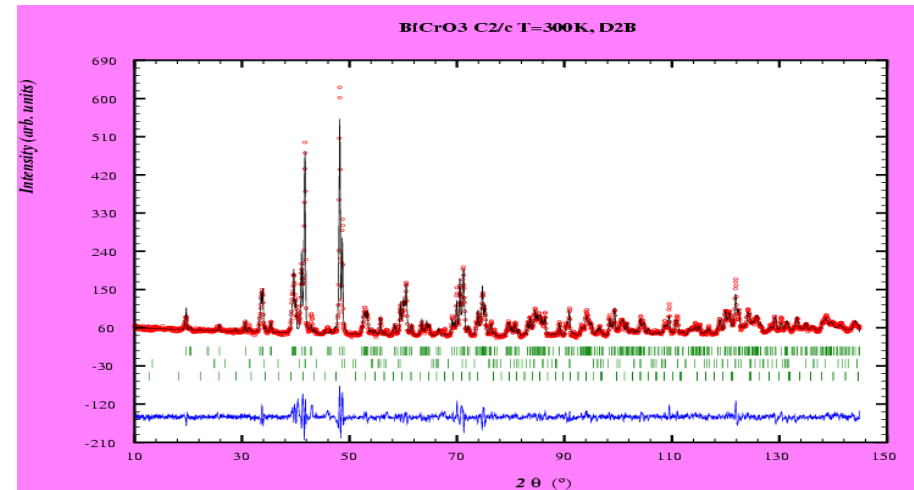
**C121**



Rp: 20.2, Rwp: 21.3, Rexp: 9.83, Chi2: 4.71, RBragg: 7.11

Atom	x	y	z	Biso
Bi1	0.1250(9)	-0.046(4)	0.3813(1)	0.334(2)
Bi2	0.3596(8)	0.019(5)	0.1185(1)	0.334(2)
Cr1	0	0	0	0.341(6)
Cr2	0.235(2)	-0.010(6)	0.741(2)	0.341(6)
Cr3	½	0.021(4)	½	0.341(6)
O1	0.083(2)	-0.042(6)	0.832(2)	0.79(5)
O2	0.408(2)	0.049(5)	0.657(2)	0.79(5)
O3	0.160(2)	0.284(5)	0.612(2)	0.79(5)
O4	0.359(2)	0.274(6)	0.409(2)	0.79(5)
O5	0.358(2)	0.223(6)	0.909(2)	0.79(5)
O6	0.148(2)	0.239(6)	0.114(2)	0.79(5)

**C12/c1**

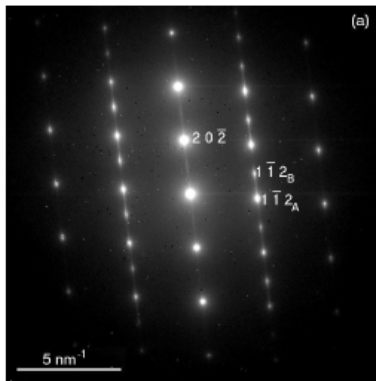


Rp: 21.5, Rwp: 22.1, Rexp: 10.14, Chi2: 4.76, RBragg: 7.47

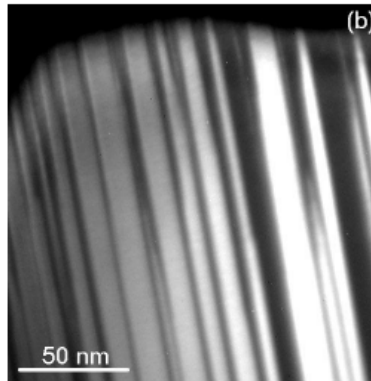
Atom	x	y	z	Biso
Bi1	0.1331(4)	0.2166(6)	0.1313(4)	0.74(7)
Cr1	¼	¼	1/2	0.63(18)
Cr2	0	0.2366(18)	¾	0.82(19)
O1	0.0860(5)	0.2037(11)	0.5869(5)	0.91(9)
O2	0.1552(6)	0.5226(12)	0.3643(6)	1.17(11)
O3	0.3582(6)	0.5256(10)	0.1590(5)	0.47(8)

Biso contraints

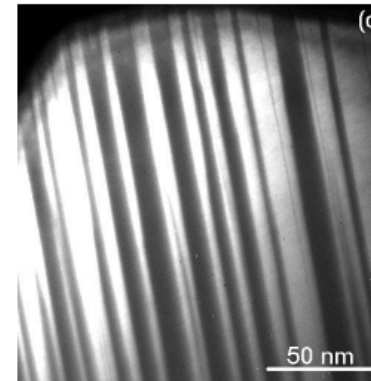
**Formes de raies difficiles à décrire à T< transition**



(a) Electron diffraction pattern of the [1 3 1] zone axis of monoclinic  $\text{BiCrO}_3$ .

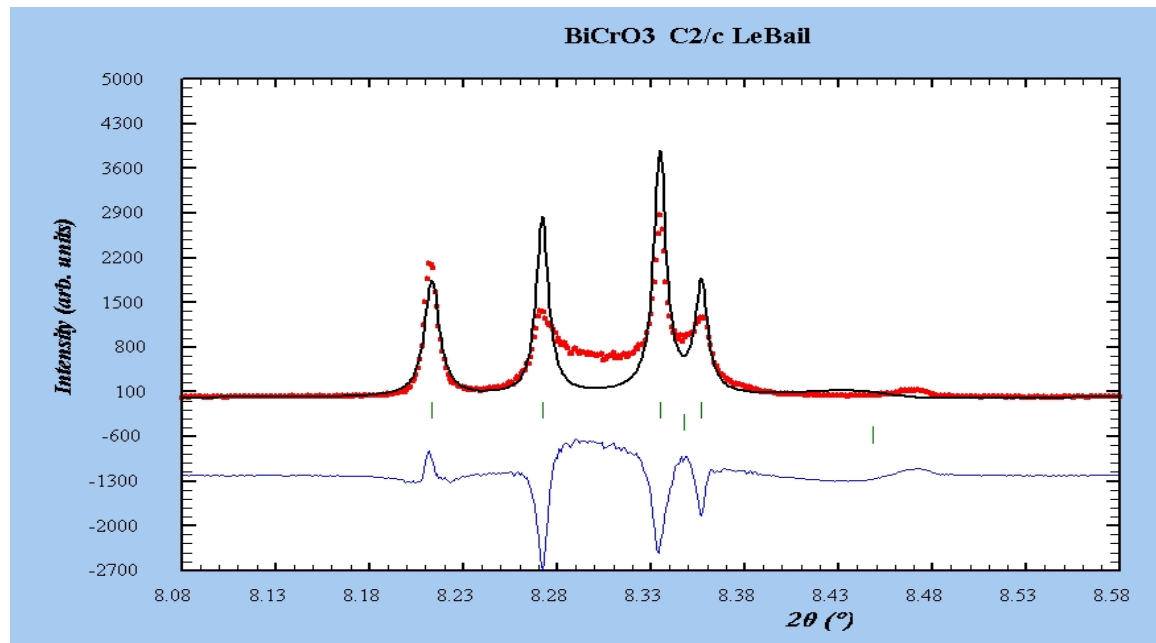


(b) Dark field image of  $\text{BiCrO}_3$  selecting a spot of family A.



(c) Dark field image of  $\text{BiCrO}_3$  selecting a spot of family B.

TEM  
Macles  
Quques nanomètres



ESRF-ID31  
Diffusion diffuse

## Structure moyenne

=> **BiMnO<sub>3</sub>** (poudres, cristaux)

C2/c centrosymétrique non ferroélectrique  
(affis de même qualité, pas de refl. Interdite)

=>**BiCrO<sub>3</sub>**

idem, mais nano-domaines de macles,  
difficile de conclure

## Structure locale ≠ structure moyenne ?

=> distortions locales désordonnées=>ferroélectricité?

→ étude par analyse PDF de données RX sur ID31-ESRF

# Utilisation de la fonction de distribution de paires pour l'études structurale de composés partiellement désordonnés

A partir de données de diffraction de poudres :

$$G(r) = 4\pi r [\rho(r) - \rho_0] = \frac{2}{\pi} \int_0^\infty Q [S(Q) - 1] \sin(Qr) dQ$$

$r$  = distance interatomique

$\rho(r)$  = densité de paires,  $\rho_0$  : densité numérique moyenne

$S(Q)$ =intensité de diffusion cohérente normalisée,

$$Q=4\pi \sin(\theta)/\lambda$$

A partir d'un modèle structural :

$$G_{calc}(r) = \frac{1}{r} \sum_i \sum_j \left[ \frac{b_i b_j}{(b)^2} \delta(r - r_{ij}) \right] - 4\pi r \rho_0,$$

$r_j$  = distance interatomique

$b_i$  : pouvoir diffusant

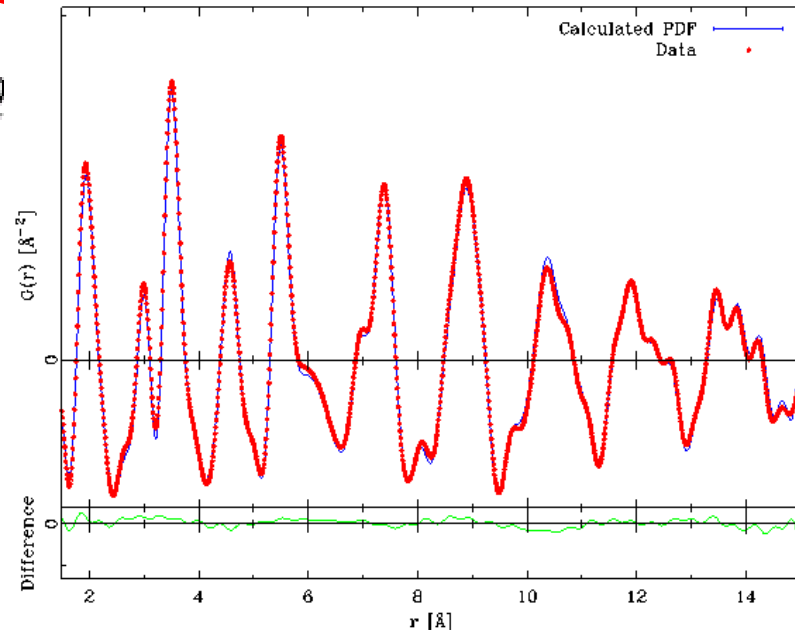
=> "Rietveld" dans l'espace direct (PDFFIT Proffen et al., *Appl. Cryst.*, 1999)

=> fit RMC de la PDF (DISCUS, Proffen et al., *Appl. Cryst.*, 1997)

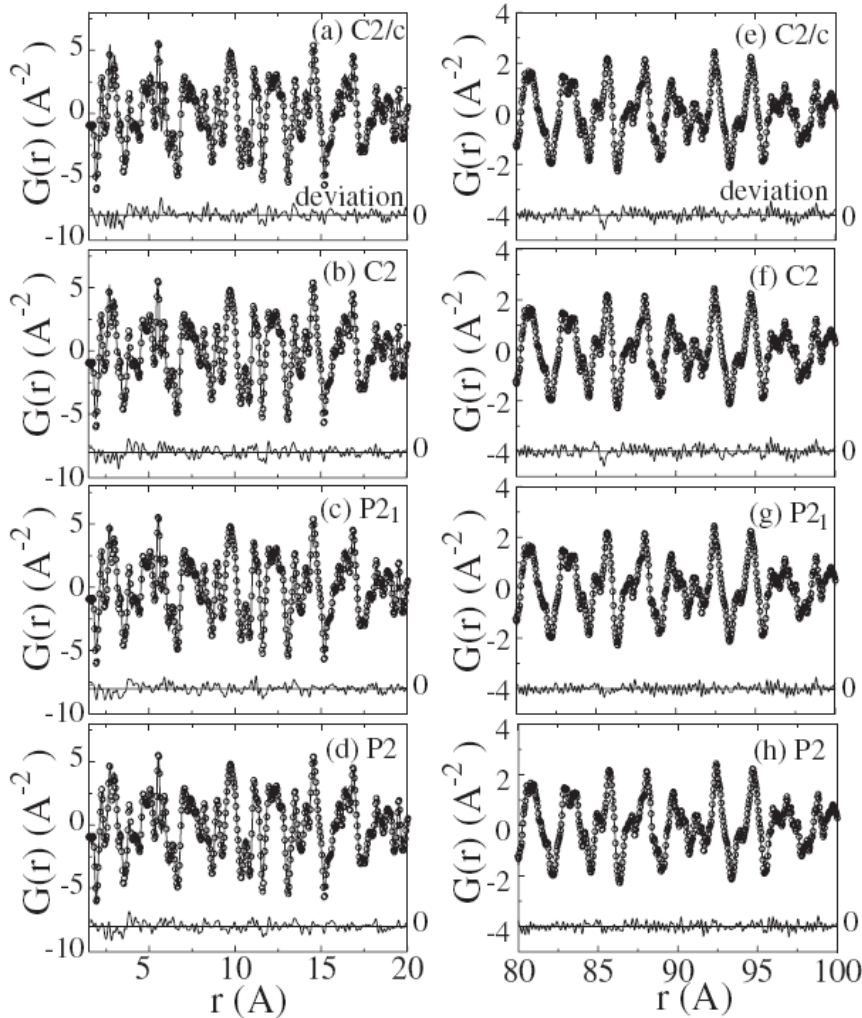
de  $S(Q)$  (RMCPow, Mellergard et al., *Acta Cryst. A* 1999)

des deux (RMCProfile, Keen et al., *JPCM* 2005)

Th. Proffen, S. J. L. Billinge, T. Egami and D. Louca, Z. Kristallogr. 218 (2003) 132–143



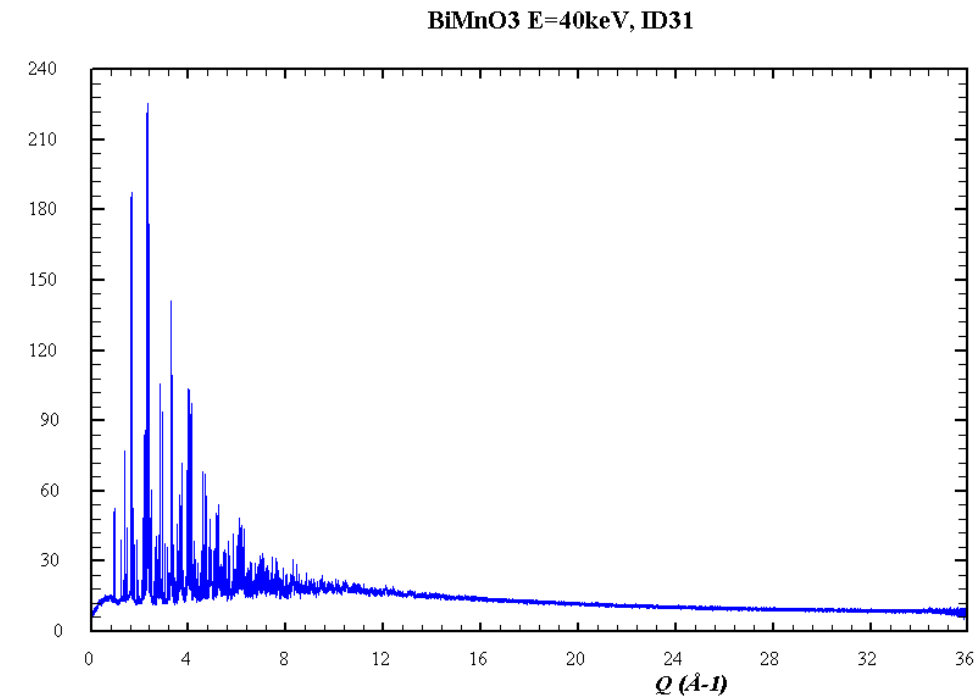
Kodoma et al.,  
PDF sur BiMnO<sub>3</sub> (NPD)  
=> P21 ou P2

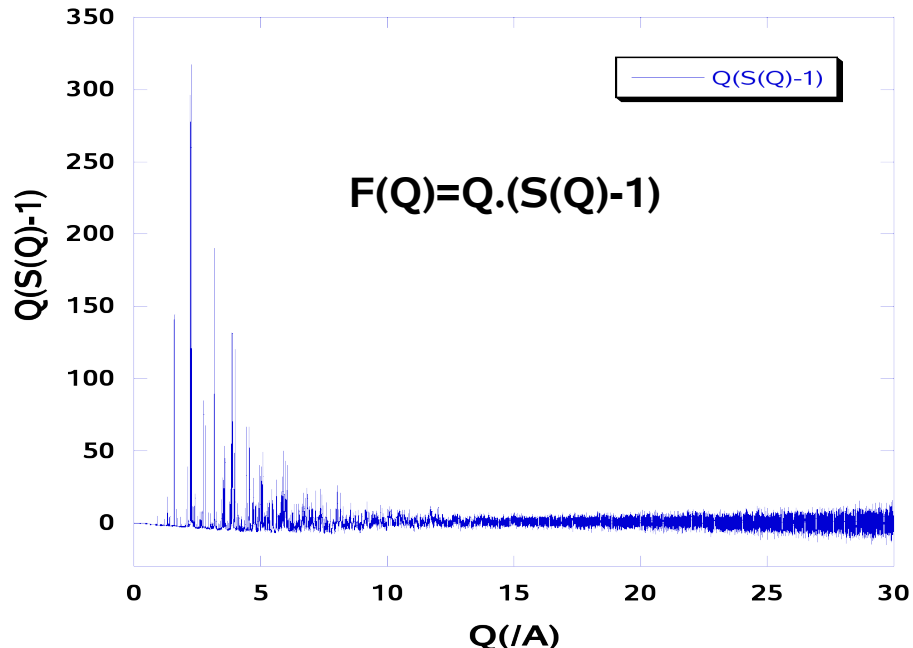
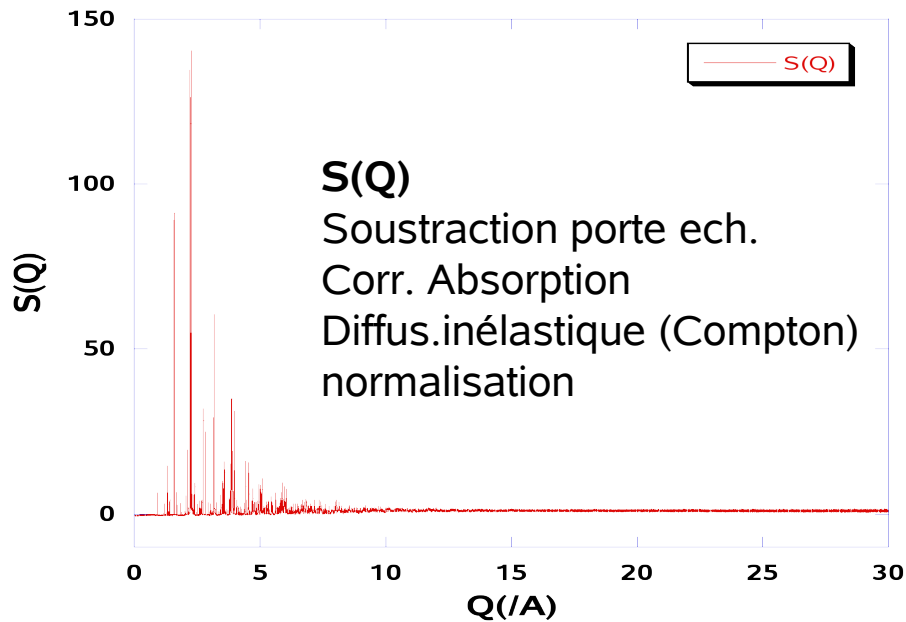


Kodoma et al. J. Phys. Soc. Jpn., Vol. 76, No. 12

## Mesures sur ID31

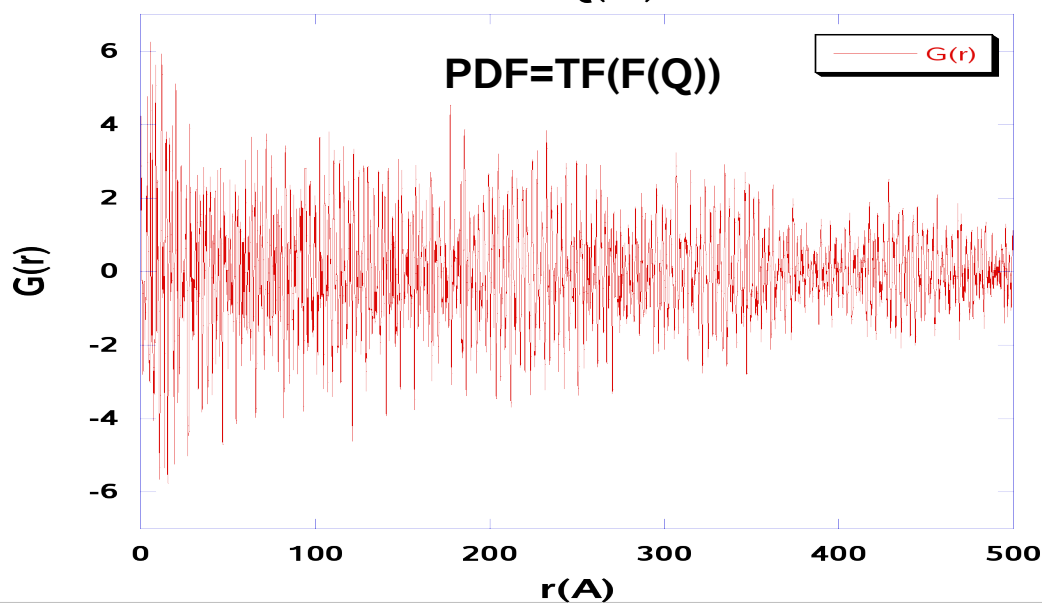
$\lambda \approx 40\text{keV} \approx 0.3\text{\AA}$ ,  
Debye-Scherrer + multianalyseur,  
 $2\theta_{\max}=117^\circ$ ,  $Q_{\max}>30\text{\AA}^{-1}$



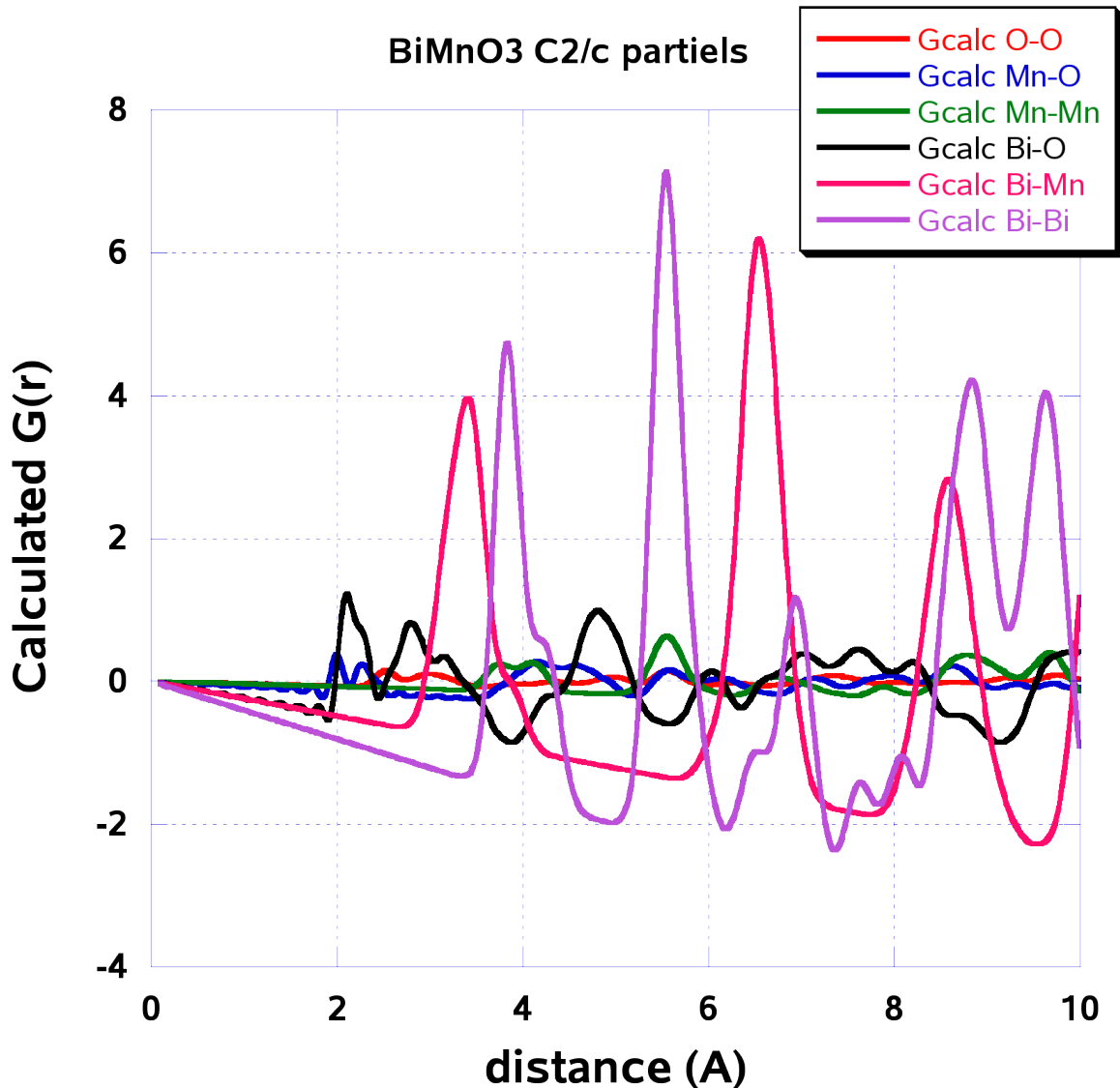


$$G(r) = \frac{2}{\pi} \int_0^\infty Q[S(Q) - 1] \sin(Qr) dQ,$$

**BiMnO<sub>3</sub>**

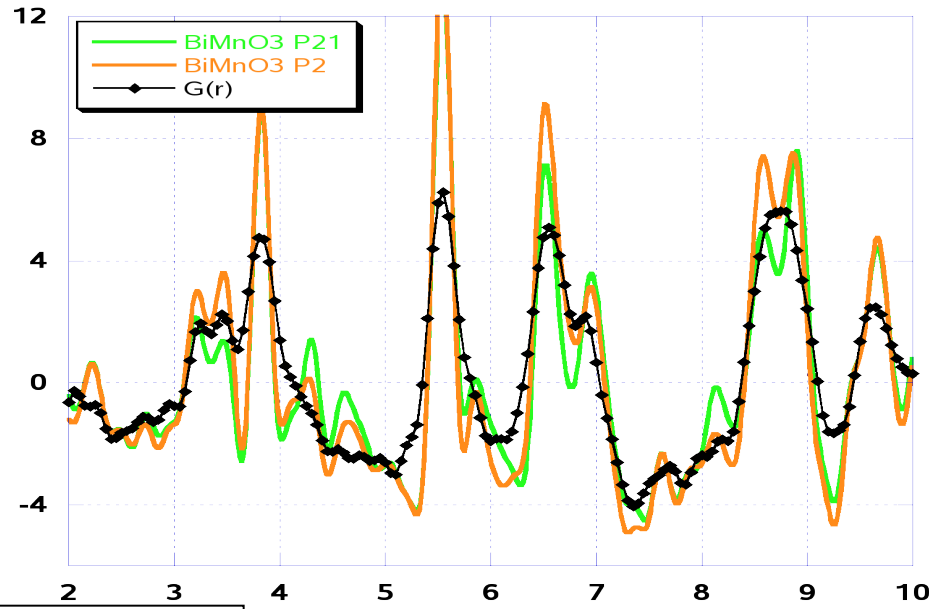
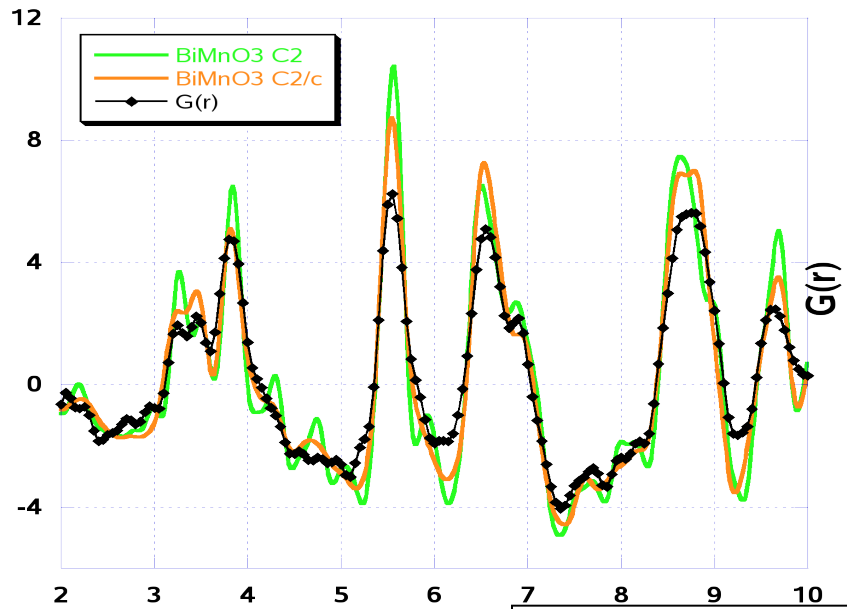


X. QIU,et al. PDFgetX2: J. Appl. Cryst. (2004), **37**, 678–678

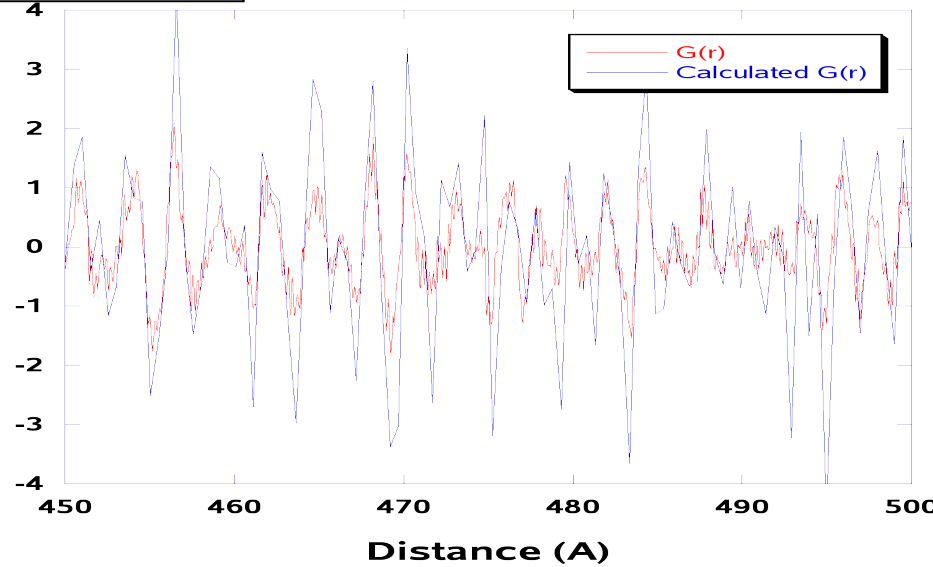
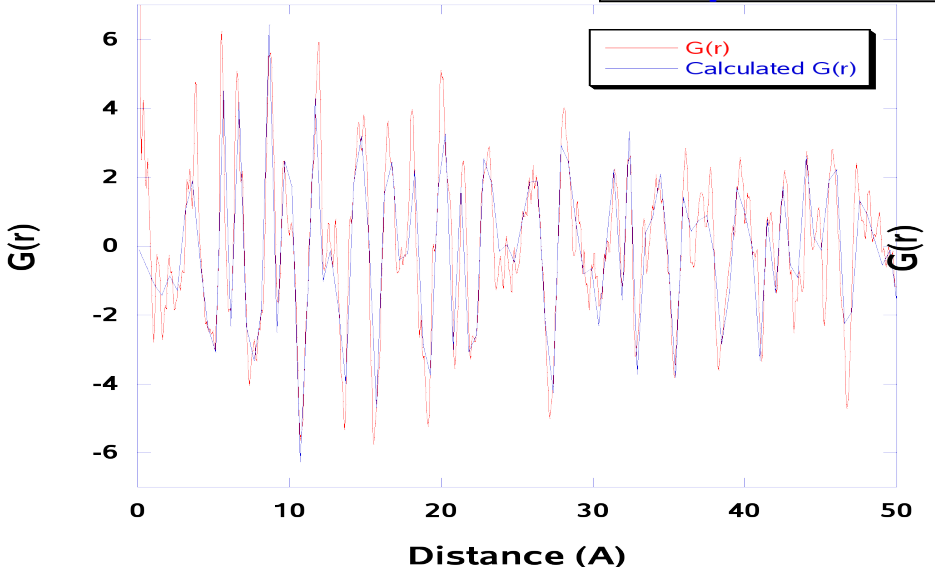


**Calculs et affinements  
avec PDFGUI  
(Billinge group,  
Michigan State Univ.)**

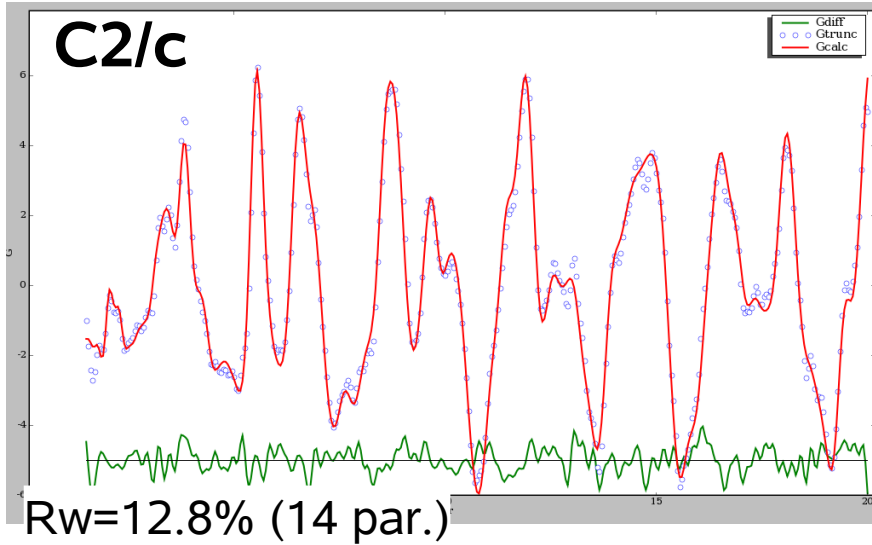
PDFGUI, C.L. Farrow et al.  
J. Phys.: Condens. Matter 19 (2007) 335219



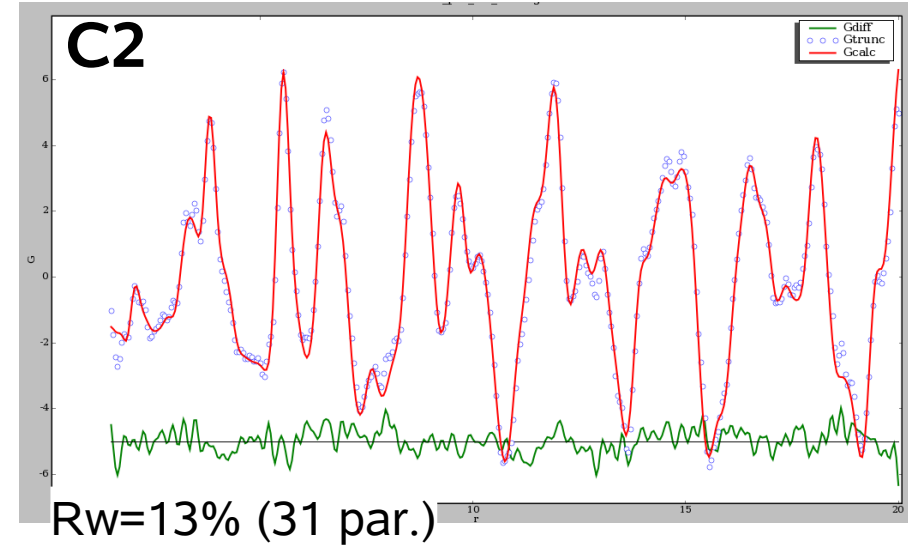
## Comparaisons de modèles



**C2/c**

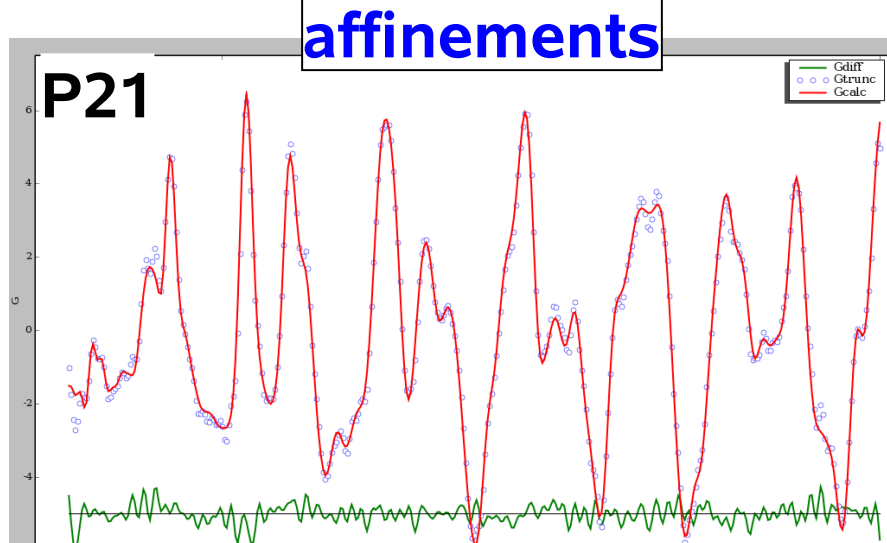


**C2**

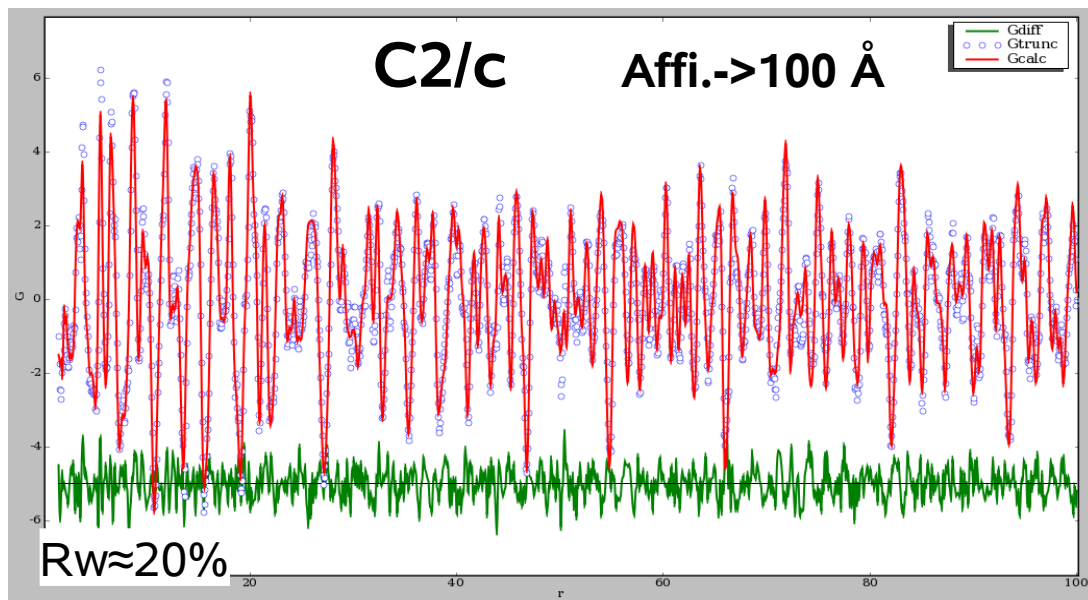
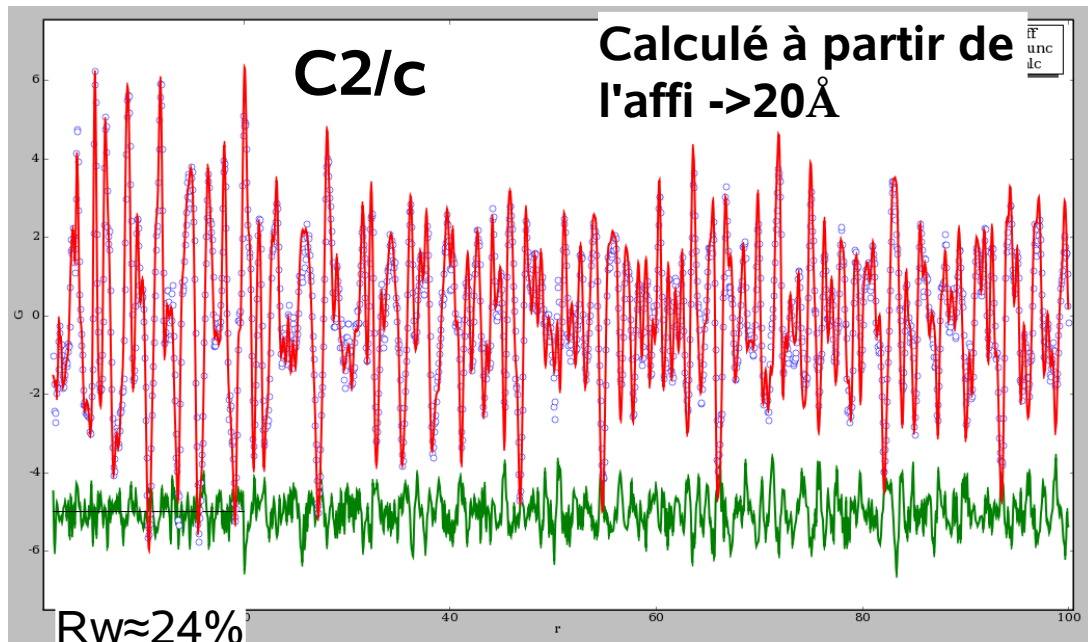


**affinements**

**BiMnO<sub>3</sub>**



$R_w = 9\%, \text{ (61 par.) stupid structure}$

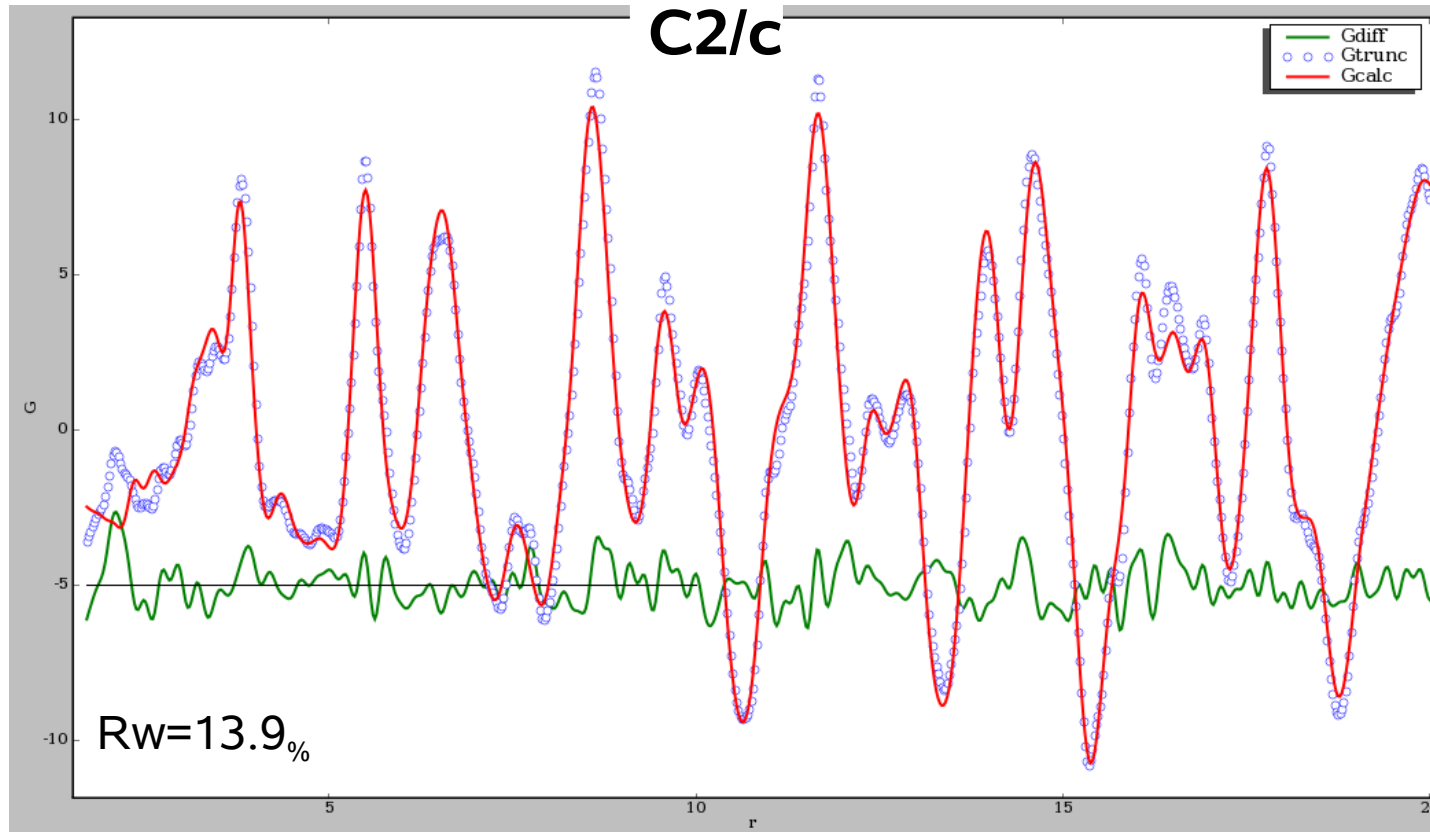


**BiMnO<sub>3</sub>**

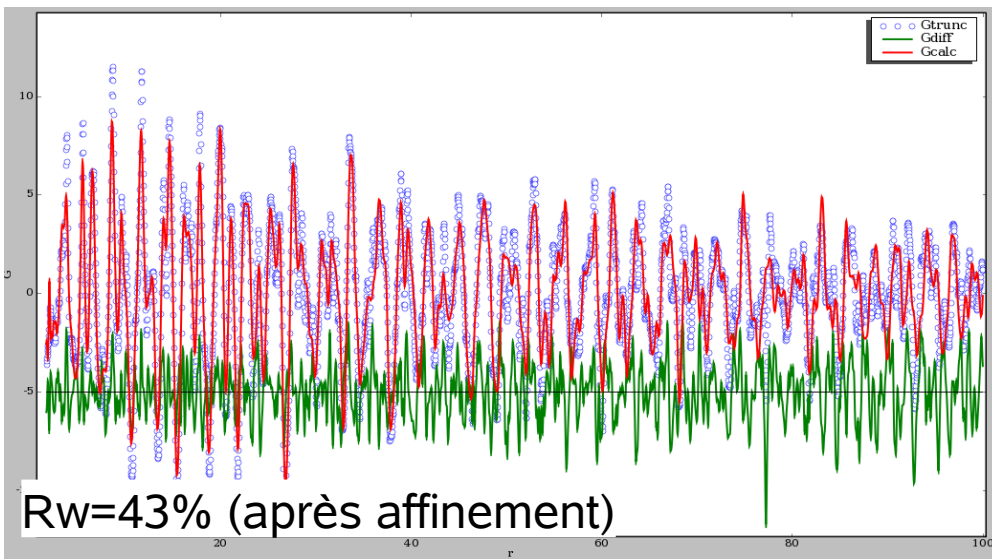
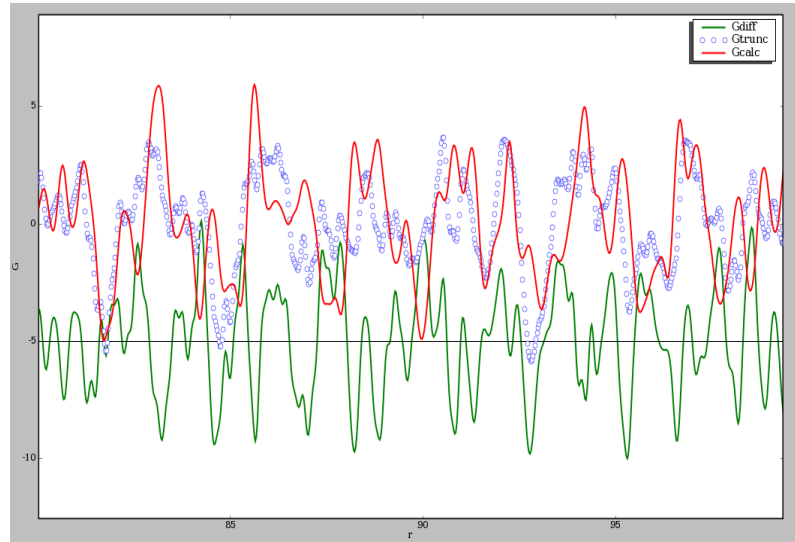
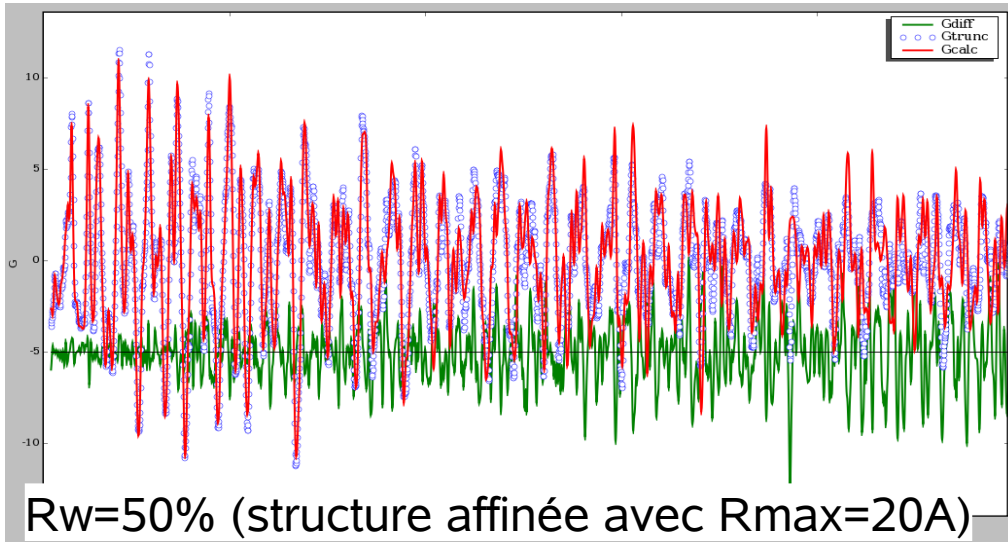
**Structure locale  
≈ structure moyenne**

**pas de désordre**

# BiCrO<sub>3</sub>



Affinement correct avec C2/c (pas mieux en C2)  
Qualité comparable (un peu moins bonne) que BiMnO<sub>3</sub>  
=> structure locale



Structure locale  
≠ structure moyenne

=> influence des macles

=> étudier la structure  
des parois de macles

## Conclusions

- ✓ structure moyenne C2/c  $\text{BiMnO}_3$ ,  $\text{BiCrO}_3$
  - ✓ données haut Q/haute résolution => PDF à grandes distances
  - ✓ structure locale C2/c  $\text{BiMnO}_3$ ,  $\text{BiCrO}_3$
  - ✓ effet des domaines visible sur la PDF de  $\text{BiCrO}_3$
  - ✓  $\text{BiMnO}_3$  = multiferroïque de type 2 ?,  
Cc en dessous de T(FM)  
*(I. V. Solovyev, b and Z. V. Pchelkina JETP Letters, 2009, Vol. 89, No. 12, pp. 597–602)*
- ⇒ RX monocristal BT
- ⇒ PDF BT







